

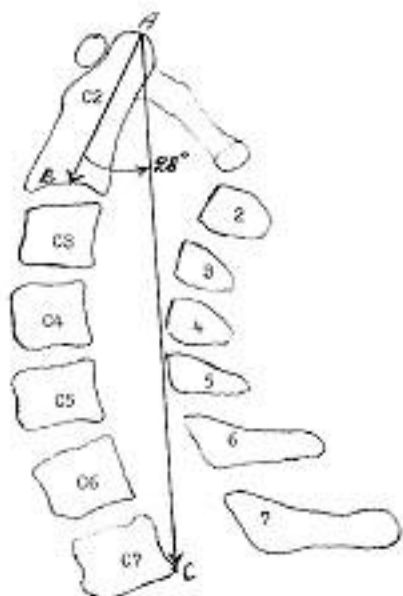
В. Т. Пустовойтенко, А. В. Белецкий, С. В. Макаревич, А. Н. Мазуренко
**Функциональное рентгенологическое исследование шейного
отдела позвоночника с использованием угла аксиша**
РНПЦ травматологии и ортопедии, Минск, Республика Беларусь

Разработан новый рентгенометрический метод для характеристики различных видов искривления шейного отдела позвоночника путем создания угла аксиша. Определены диапазоны угла аксиша при гиперлордозе, нормальном физиологическом лордозе, сглаженном лордозе, выпрямление шейного лордоза и кифозе шейного отдела. На основе 55 исследований описаны варианты изменений угла аксиша.

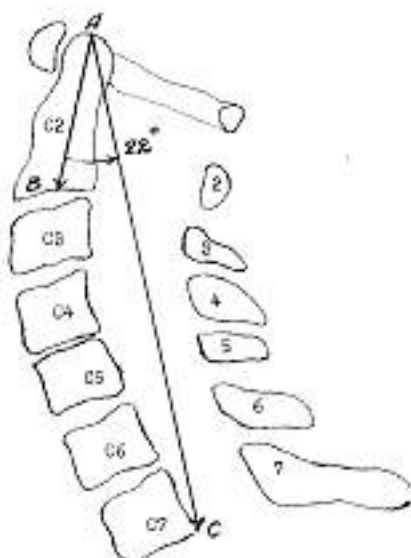
Введение

Рентгенологическое исследование позвоночника обычно начинают с изучения обзорных снимков в двух проекциях [2, 4, 8], а по показаниям применяют функциональное исследование [1, 3]. Для характеристики статики и динамики шейного отдела позвоночника нами разработан новый метод рентгенометрии. Сущность его заключается в том, что на боковых рентгенограммах шейного отдела вычерчивают угол аксиша, который характеризует статическое и динамическое положение шейных позвонков. Угол аксиша состоит из двух линий: линии длины шейного отдела позвоночника (для краткости – линии C2-C7) и осевой линии аксиша. Первая линия наносится на боковую рентгенограмму от середины вершины зуба аксиша и до задненижнего угла седьмого шейного позвонка. Вторая линия соединяет середину вершины зуба аксиша с серединой основания аксиша. Пересечение этих линий на середине вершины зуба аксиша образует угол аксиша, измеряемый в градусах транспортиром.

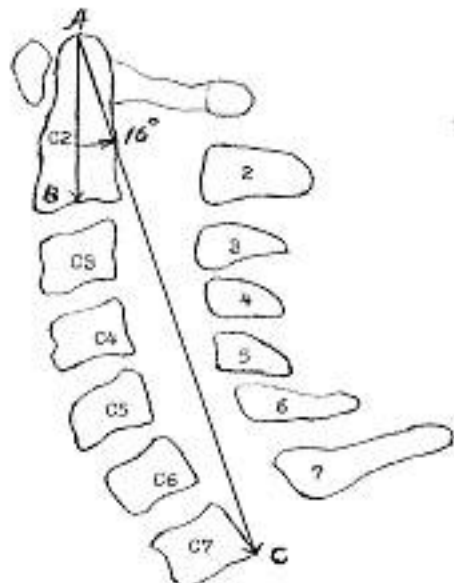
На материале 583 боковых спондилограмм дана характеристика пяти видов искривлений шейного отдела позвоночника, а именно гиперлордоза, нормального физиологического лордоза, легкого лордоза, выпрямления шейного лордоза, кифоза шейного отдела. Определены их диапазоны при измерении угла аксиша: гиперлордоз в пределах 36-26°, нормальный лордоз – 25-19°, легкий (сглаженный) лордоз – 18-13°, выпрямление шейного лордоза – 12-10°, кифоз шейного отдела – 9-1° и минус 1° до минус 12°, Медиана при гиперлордозе равна 28,00° при нормальном лордозе – 21,13°, при легком лордозе – 15,82°, при выпрямлении лордоза – 11,57°, при кифозе – 7,77°. Графически сущность метода поясняется рис. 1-5.



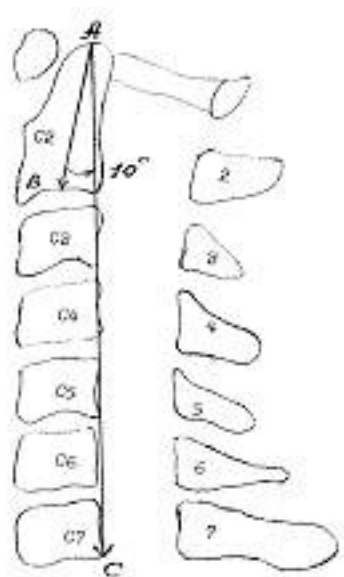
Фиг. 1



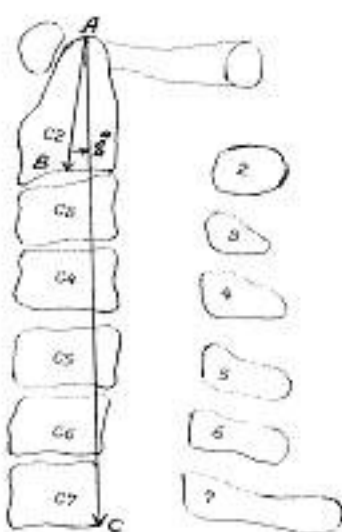
Фиг. 2



Фиг. 3



Фиг. 4



Фиг. 5

Фиг.1. Схема рентгенограммы шейного отдела позвоночника с гиперлордозом. Угол аксиша ВАС равен 280. Линия длины шейного отдела от вершины зубовидного отростка второго шейного позвонка до задненижнего угла седьмого шейного позвонка проходит по задней стенке позвоночного канала.

Фиг.2. Нормальный физиологический лордоз шейного отдела позвоночника. Угол аксиша ВАС равен 220. Линия длины шейного отдела проходит в просвете позвоночного канала.

Фиг.3. Сглаженный (легкий) лордоз шейного отдела. Угол аксиша ВАС равен 160. Линия длины шейного отдела проходит в просвете позвоночного канала.

Фиг.4. Выпрямление шейного отдела позвоночника. Угол аксиша ВАС равен 100. Линия длины шейного отдела проходит по передней стенке позвоночного канала, касаясь задних отделов тел C3 – C7 позвонков.

Фиг.5. Кифоз шейного отдела позвоночника. Угол аксиша ВАС равен 80. Линия длины шейного отдела пересекает задние отделы тел шейных позвонков.

Материалы и методы

Подробно проанализированы боковые спондилограммы 55 больных, которым выполнялось функциональное рентгенологическое исследование. Изучены спондилограммы в стандартном положении головы, при максимальном сгибании (флексии), максимальном разгибании головы (экстензии). Возраст больных колебался от 20 до 65 лет, средний возраст 40,91 лет. Женщин было 43, мужчин – 12. Для функционального исследования отбиралась специальная группа больных с подозрением на нестабильность шейных позвонков или функциональный блок позвоночно-двигательных сегментов.

Рентгенограммы производились на аппарате Gamargy ТОМА (Франция) при технических условиях 250 mA, фокусное расстояние 115 см в положении больных стоя.

Результаты и обсуждение

При оценке боковых рентгенограмм особое значение придавалось прохождению линии длины шейного отдела позвоночника. Так, при гиперлордозе линия C2-C7 проходит по задней стенке позвоночного канала, пересекает корни дуг позвонков и основания остистых отростков. При нормальном или сглаженном шейном лордозе линия C2-C7 располагается в просвете позвоночного канала, при выпрямлении шейного лордоза эта линия проходит вблизи передней стенки позвоночного канала или по самой стенке, а при кифозе линия C2-C7 пересекает задние отделы тел шейных позвонков.

Особого рассмотрения требует угол аксиша при кифозе (инверсии позвонков). Характерно то, что чем больше выражен кифоз, тем меньше угол аксиша, а линия C2-C7 проходит не только по задним отделам тел позвонков, но и по середине некоторых из них. С нарастанием степени кифоза линия C2-C7 все больше приближается к осевой линии аксиша, наблюдаются случаи, когда линия C2-C7 совпадает или накладывается на осевую линию аксиша и тогда угол аксиша равен нулю. Такое состояние можно обозначить как кифоз с нулевым значением угла аксиша или нулевой кифоз.

При резко выраженному кифозе линия C2-C7 смещается вперед и располагается за осевой линией аксиша, в таких случаях угол аксиша становится отрицательным (минусовым) и обозначается в градусах со знаком минус. Можно говорить о минусовой степени кифоза. В нашем материале имелись больные с углом аксиша минус 12 градусов при кифозе. Чаще всего отрицательный (минусовый) угол аксиша при кифозе наблюдался при двух уровнях нестабильности позвоночно-двигательного сегмента. Минусовые и нулевые значения угла аксиша при функциональном рентгенологическом исследовании доказывают универсальность, простоту и практическую применимость метода угла аксиша. Результаты рентгенометрических измерений при функциональном рентгенологическом исследовании у 55 больных представлены в табл. 1, отсчет

ведется от стандартного положения головы.

Таблица 1

Рентгенометрические изменения угла аксиша при функциональном рентгенологическом исследовании шейного отдела позвоночника
n = 55

| Стандартное положение головы (standard) | | | | | |
|---|----------------------|----------------------|------------------------|-----------------------|-------|
| Исходные данные | | | | | |
| Гипер- лордоз | Нормальный лордоз | Сглаженный лордоз | Выпрямление лордоза | Кифоз | Всего |
| 36°-26° | 25°-19° | 18°-13° | 12°-10° | 9°-1°, -1° до -12° | |
| 5 (9,1%) | 15 (27,3%) | 18 (32,7%) | 5 (9,1%) | 12 (21,8%) | 55 |
| Изменения после сгибания головы (flexion) | | | | | |
| 1 (1,8%) | 4 (7,3%) | 5 (9,1%) | 5 (9,1%) | 40 (72,7%) | 55 |
| Изменения после разгибания головы (extension) | | | | | |
| 40 (72,7%) | 11 (20,0%) | 2 (3,65%) | 0 | 2 (3,65%) | 55 |

Как видно из таблицы 1, у обследованных 55 больных наблюдались в стандартном положении головы все виды искривлений шейного отдела позвоночника, в убывающем порядке: сглаженный (легкий) лордоз (18 чел.), нормальный физиологический лордоз (15 чел.), кифоз (12 чел.), гиперлордоз (5 чел.), выпрямление шейного лордоза (5 чел.). Если придерживаться частоты видов искривлений, то типичная формула изменений при функциональном рентгенологическом исследовании будет такой: легкий лордоз в стандартной позиции головы (18 чел.) сменяется при флексии головы кифозом (40 чел.), а при экстензии головы завершается гиперлордозом (40 чел.).

При подробном скрупулезном изучении изменений кривизны шейного отдела выявлено множество различных вариантов, которые приведены в виде формул в таблице 2.

Таблица 2

Варианты изменений угла аксиша от исходного стандартного положения головы при функциональном рентгенологическом исследовании шейного отдела позвоночника
n = 55

| Вари-анты | Изменения угла аксиша от первоначального стандартного положения головы при функциональных пробах | | | Кол-во больных |
|-----------|--|-------------------|----------------|----------------|
| | Стандарт | Сгибание | Разгибание | |
| I | Легкий лордоз | Кифоз | Гиперлордоз | |
| II | Легкий лордоз | Кифоз плюс | Нормал. лордоз | 12 |
| III | Легкий лордоз | Нормальный лордоз | Гиперлордоз | 2 |
| IV | Легкий лордоз | Выпрямление | Гиперлордоз | 1 |
| V | Легкий лордоз | Выпрямление | Гиперлордоз | 1 |
| VI | Легкий лордоз | Кифоз минус | Нормальный | 1 |
| | | | Лордоз | 1 |
| | | | Кифоз плюс | 1 |
| | | | | 18 |
| VII | Нормальный лордоз | Кифоз | Гиперлордоз | |
| VIII | Нормальный лордоз | Выпрямление | Гиперлордоз | 5 |
| IX | Нормальный лордоз | Легкий лордоз | Гиперлордоз | 4 |
| X | Нормальный лордоз | Кифоз | Нормальный | 3 |
| XI | Нормальный лордоз | Кифоз минусовый | лордоз | 2 |
| | | | Легкий лордоз | 1 |
| | | | | 15 |
| XII | Кифоз | Кифоз | Гиперлордоз | |
| XIII | Кифоз | Кифоз минусовый | Нормальный | 5 |
| XIV | Кифоз | Кифоз | лордоз | 5 |
| XV | Кифоз минус 1° | Кифоз минус 12° | Легкий лордоз | 1 |
| | | | Кифоз плюс 6° | 1 |
| | | | | 12 |
| XVI | Гиперлордоз | Нормальный лордоз | Гиперлордоз | |
| XVII | Гиперлордоз | Легкий лордоз | Гиперлордоз | 1 |
| XVIII | Гиперлордоз | Выпрямление | Гиперлордоз | 1 |
| | | | | 5 |
| XIX | Выпрямление | Кифоз | Гиперлордоз | |
| XX | Выпрямление | Кифоз | Нормальный | 4 |
| | | | лордоз | 1 |
| | | | | 5 |
| | | | Итого | 55 |

Данные таблицы 2 показывают, что применение угла аксиша позволяет отдифференцировать 20 вариантов изменений при функциональных пробах шейного отдела, исходя от первоначального искривления в стандартном положении. При этом заведомо исключается всякая субъективность в оценке происходящих рентгенометрических изменений, так как каждое изменение статики шейного отдела фиксируется в градусах и сопоставляется с другими измерениями также в градусах.

Особый интерес вызывают рентгенометрические измерения при кифозе шейного отдела как в стандартной позиции, так и при максимальном сгибании и разгибании головы. Представляется уникальная возможность с помощью угла аксиша проследить всякие необычные по качеству превращения кифоза, а именно: выделить плюсовые (положительные) значения угла аксиша при кифозе, минусовые (отрицательные) значения и нулевое значение угла аксиша, что позволяет кратко обозначать кифозы шейного отдела как положительный

(плюсовый) кифоз от 9 до 1 градуса, нулевой кифоз при угле аксиша равным нулю и отрицательный (минусовий) кифоз с углом аксиша от минус 1° до минус 12 градусов.

Кифоз как серьезный признак нарушения статики шейного отдела позвоночника с помощью угла аксиша может быть охарактеризован особенно тщательно, причём при различных заболеваниях и травмах шейного отдела позвоночника и спинного мозга, в особенности после обширных ламинэктомий шейных позвонков, когда часто развивается послеоперационный кифоз.

Мы полагаем, что метод угла аксиша должен использоваться при любом первоначальном исследовании шейного отдела позвоночника в боковой проекции, а при описании рентгеновского снимка в заключении указывать: угол аксиша равен столько-то градусов. Эти сведения пригодятся в будущем при очередной спондилографии. С возрастом таким образом можно проследить динамику изменений угла аксиша, т.е. состояние статики шейного отдела позвоночника на протяжении многих лет. Важно только, чтобы рентгенограммы выполнялись в стандартном положении головы.

В будущем предстоит оценить значение угла аксиша при различных заболеваниях шейного отдела позвоночника, при свежих травмах шейных позвонков, при последствиях травм шейных позвонков, после оперативных вмешательств на шейном отделе позвоночника и шейно-затылочном сочленении, при аномалиях развития в шейном отделе позвоночника.

Надо понимать, что кифоз постепенно возникает после прохождения следующих этапов: нормальный физиологический лордоз, сглаженный лордоз, выпрямление лордоза, а затем начальный кифоз шейного отдела, переходящий в умеренный кифоз, потом нулевой кифоз и, наконец, минусовый кифоз.

Все эти фазы шейного кифоза можно выявить только при ФРИ и на большом количестве наблюдений.

Выводы

1. Предложен и апробирован новый метод оценки статики и динамики шейного отдела позвоночника - метод угла аксиша. Он образуется на боковой спондилограмме от соединения длины шейного отдела позвоночника (линии C2-C7) с осевой линией аксиша на середине вершины зубовидного отростка аксиша. Линия C2-C7 соединяет середину вершины зуба аксиша с задненижним углом седьмого шейного позвонка, осевая линия аксиша проходит от середины вершины зуба аксиша до середины его основания.

2. Использование угла аксиша при функциональном рентгенологическом исследовании шейного отдела позвоночника открывает новые возможности для оценки статодинамических изменений, более точно характеризовать любые виды искривлений шейного отдела – гиперлордоз, нормальный лордоз, легкий лордоз, выпрямление шейного лордоза и шейный кифоз, причем определены диапазоны колебаний угла аксиша при каждом виде искривления.

3. Только метод угла аксиша дает возможность выделить множество вариантов (20) изменений положения шейных позвонков от исходной стандартной позиции головы до максимального сгибания и разгибания головы и выразить эти

изменения в градусах. Субъективная оценка изменений кривизны шейного отдела позвоночника заменяется объективной характеристикой статики и динамики позвоночника.

4. Метод угла аксиса отличается простотой, доступностью, удобством, универсальностью и практичностью. По сути – это новый универсальный инструмент для оценки любого искривления шейного отдела в статике и динамике, причем в конкретных цифрах.

Литература

1. Михайлов, А. Н. Рентгенофункциональная характеристика позвоночника до и после мануальной терапии / А. Н. Михайлов, Ю. Ф. Полойко, И. А. Рыбин // Здравоохранение Беларуси. 1991. № 3. С. 21–23.
2. Полойко, Ю. Ф. Рентгеноспондилограммометрическая характеристика остеохондроза шейного отдела позвоночника: дис. ... канд. мед. наук / Ю. Ф. Полойко. Минск, 1993. 121 с.
3. Фиалков, Л. В. О функциональном рентгенографическом исследовании позвоночника: тр. 4-го съезда рентгенологов и радиологов Украинской ССР / Л. В. Фиалков. Киев: Здоров'я, 1967. С. 112–115.
4. Хвисюк, Н. И. Нестабильность позвоночника / Н. И. Хвисюк, Н. А. Корж, Е. М. Маковоз // Ортопед., травматол., протезир. 1984. № 3. С. 1–7.
5. Arlen, A. Biometrische Rontgen-Funktiondiagnostik der Halswirbelsaule / A. Arlen // Z.Orthop. 1981. Vol. 119, № 6. S. 577–582.
6. Dvorak, J. Clinical Validation of functional flexion / extension radiographs of the cervical spine / J. Dvorak [et al.] // Spine. 1993. Vol. 18, № 1. P. 120–127.
7. Otto, W. Zur Rontgenfunktiondiagnostik der Halswirbelsaule in der Praxis / W. Otto // Fortschr. Rontgenstr. 1955. Vol. 83. S. 834–839.
8. Pustowojtienko, W. T. Kseroradiografia w neurochirurgii / W. T. Pustowojtienko. Wazshawa, PZWL, 1982. 218 s.
9. Seidel, K. Wert und Grenzen der funktionellen Rontgendiagnostik der Wirbelsaule / K. Seidel // Orthoped. 1976. Vol. 5, № 4. S. 217–225.